

УДК 519.613

ЗАКРИТИЧЕСКОЕ ПОВЕДЕНИЕ ПОДКРЕПЛЕННОЙ ПЛАСТИНЫ¹

Д.В. Холмогорев

Рассматривается задача о закритическом поведении прямоугольной пластины, нагруженной по краям нормальными и касательными усилиями и подкрепленной системой упругих ребер. Предложена схема численного решения задачи, основанная на аппроксимации прогиба пластины и функции напряжений натуральными кубическими сплайнами двух переменных. Приведены результаты численных экспериментов.

1. Постановка задачи

Рассмотрим прямоугольную пластину со сторонами a и b , нагруженную по краю $x = 0$, $x = a$ нормальными усилиями σ_x и по всем краям касательными усилиями τ (рис. 1).

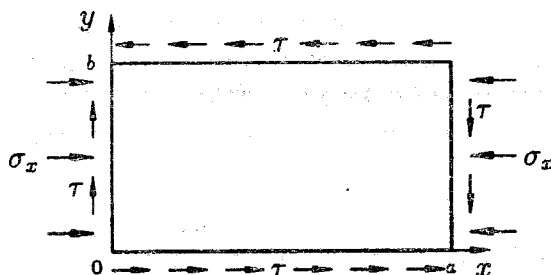


Рис. 1.

Пластина подкреплена упругими ребрами, параллельными оси x с концами в точках $[0, y_k], [a, y_k]$ $k = 1..r$, $0 < y_1 < \dots < y_r < b$. Будем считать, что ребра реагируют на поперечное смещение точек пластины как винклеровские основания с коэффициентами жесткости β_k , $k = 1..r$.

¹Работа выполнена при поддержке гранта РФФИ № 01-01-96431.

Пусть $w(x, y)$, $0 \leq x \leq a$, $0 \leq y \leq b$ – прогиб пластины. В качестве разрешающей системы примем уравнения равновесия и совместности деформаций для гибких пластинок [1]:

$$\frac{D}{h} \Delta^2 w = L(w, \Phi) - \sum_{k=1}^r \beta_k \cdot w_-(x, y) \delta(y - y_k) \quad (1)$$

$$\frac{1}{E} \Delta^2 \Phi = -\frac{1}{2} L(w, w). \quad (2)$$

Здесь h – толщина пластины; E – модуль Юнга; $D = Eh^3/12(1 - \nu^2)$ – цилиндрическая жесткость; ν – коэффициент Пуассона; $\delta(\cdot)$ – дельта-функция Дирака; $w_- = \min\{0, w\}$ – срезка функции;

$$L(w, \Phi) = \frac{\partial^2 w}{\partial x^2} \cdot \frac{\partial^2 \Phi}{\partial y^2} - 2 \frac{\partial^2 w}{\partial x \partial y} \cdot \frac{\partial^2 \Phi}{\partial x \partial y}. \quad (3)$$

Функция напряжений Φ связана с напряжениями в срединной поверхности следующими формулами [1]:

$$\sigma_x = \frac{\partial^2 \Phi}{\partial y^2}, \quad \sigma_y = \frac{\partial^2 \Phi}{\partial x^2}, \quad \tau = -\frac{\partial^2 \Phi}{\partial x \partial y}. \quad (4)$$

Задача исследования закритического поведения пластины сводится к решению нелинейной системы дифференциальных уравнений (1), (2) относительно функций w и Φ , удовлетворяющих некоторым граничным условиям, и при заданных на контуре пластины значениях напряжений σ_x и τ , превышающих критические.

Пусть прогиб пластины удовлетворяет граничным условиям шарнирного опирания

$$w = \frac{\partial^2 w}{\partial x^2} = 0 \text{ при } x = 0, a; \quad w = \frac{\partial^2 w}{\partial y^2} = 0 \text{ при } y = 0, b. \quad (5)$$

Учитывая условия нагружения пластины и выражения (4), функцию напряжений Φ будем искать в виде

$$\Phi(x, y) = \frac{1}{2} \sigma_x \cdot y^2 - \tau \cdot xy + \tilde{\Phi}(x, y). \quad (6)$$

Поскольку пластина сжимается только вдоль оси x (на краях $y = 0, b$ $\sigma_y = 0$), из формул (4) и представления (6) следует

$$\frac{\partial^2 \tilde{\Phi}}{\partial x^2} = 0 \text{ при } x = 0, a; \quad \frac{\partial^2 \tilde{\Phi}}{\partial y^2} = 0 \text{ при } y = 0, b. \quad (7)$$

Заметим также, что на контуре пластины функция напряжений Φ может быть определена с точностью до линейной функции (см. формулы (4)), поэтому для определенности полагаем

$$\tilde{\Phi} = 0 \text{ при } y = 0, b \text{ и при } x = 0, a. \quad (8)$$

Подставляя представление (6) функции напряжений Φ в уравнения (1), (2), для определения w и $\tilde{\Phi}$ получим следующую задачу

$$\begin{cases} \Delta^2 w = \frac{h}{D} \left[L(w, \tilde{\Phi}) - \sum_{k=1}^r \beta_k \cdot w_-(x, y) \delta(y - y_k) \right] \\ \Delta^2 \tilde{\Phi} = -\frac{E}{2} L(w, w) \end{cases} \quad (9)$$

при граничных условиях (5), (7) и (8).

2. Итерационная схема

Перепишем систему (9) в операторной форме

$$\begin{cases} \mathcal{A}w = \mathcal{G}_1(w, \tilde{\Phi}) \\ \mathcal{A}\tilde{\Phi} = \mathcal{G}_2(w) \end{cases}, \quad (10)$$

здесь \mathcal{A} – бигармонический оператор Δ^2 , а \mathcal{G}_1 и \mathcal{G}_2 – нелинейные дифференциальные операторы правой части системы (9).

Пусть w_k – k -е приближение, удовлетворяющее граничным условиям (5), тогда следующее $k+1$ -е приближение строится в соответствии с итерационной схемой Ричардсона:

$$w_{k+1} = \alpha \cdot w_k + (1 - \alpha) \cdot \mathcal{A}^{-1} \mathcal{G}_1(w_k, \mathcal{A}^{-1} \mathcal{G}_2(w_k)) \quad \alpha \in (0, 1). \quad (11)$$

Здесь \mathcal{A}^{-1} соответствует обращению бигармонического оператора, т.е. решению задачи вида

$$\Delta^2 u = g_0 \quad (12)$$

при фиксированной правой части g_0 и граничных условиях шарнирного опирания

$$u = \frac{\partial^2 u}{\partial x^2} = 0 \text{ при } x = 0, a; \quad u = \frac{\partial^2 u}{\partial y^2} = 0 \text{ при } y = 0, b.$$

Из формулы (11) следует, что для построения $k+1$ -го приближения задачу (12) нужно решить два раза: сначала найти функцию $\tilde{\Phi}$ из уравнения (см. (9))

$$\Delta^2 \tilde{\Phi} = -\frac{E}{2} L(w_k, w_k), \quad (13)$$

затем – \tilde{w} , как решение задачи

$$\Delta^2 \tilde{w} = \frac{h}{D} \left[L(w_k, \tilde{\Phi}) - \sum_{l=1}^r \beta_l \cdot w_{k-}(x, y) \delta(y - y_l) \right], \quad (14)$$

тогда $w_{k+1} = \alpha \cdot w_k + (1 - \alpha) \cdot \tilde{w}$.

Заметим, что уравнения (13), (14) являются уравнениями Эйлера соответственно для функционалов

$$\mathcal{J}_1(\tilde{\Phi}) \triangleq \iint_{\Omega} \left[\frac{1}{2} (\Delta \tilde{\Phi})^2 + \frac{E}{2} \tilde{\Phi} \cdot L(w_k, w_k) \right] dx dy, \quad (15)$$

$$\begin{aligned} \mathcal{J}_2(\tilde{w}) \triangleq & \iint_{\Omega} \left[\frac{1}{2} (\Delta \tilde{w})^2 - \frac{h}{D} \tilde{w} \cdot L(w_k, \tilde{\Phi}) \right] dx dy + \\ & + \frac{h}{D} \sum_{l=1}^r \beta_l \int_0^a \tilde{w}(x, y_l) w_{k-}(x, y_l) dx, \end{aligned} \quad (16)$$

поэтому задачи (13), (14) эквивалентны следующим вариационным проблемам

$$\mathcal{J}_1(\tilde{\Phi}) = \mathcal{J}_{11}(\tilde{\Phi}) + \frac{E}{2} \mathcal{J}_{12}(\tilde{\Phi}, w_k, w_k) \rightarrow \min_{\tilde{\Phi}}, \quad (17)$$

$$\mathcal{J}_2(\tilde{w}) = \mathcal{J}_{11}(\tilde{w}) - \frac{h}{D} \mathcal{J}_{12}(\tilde{w}, w_k, \tilde{\Phi}) + \frac{h}{D} \sum_{l=1}^r \beta_l \mathcal{J}_{23}^l(\tilde{w}, w_{k-}) \rightarrow \min_{\tilde{w}}, \quad (18)$$

где

$$\begin{aligned} \mathcal{J}_{11}(\tilde{w}) & \triangleq \frac{1}{2} \iint_{\Omega} (\Delta \tilde{w})^2 dx dy, \\ \mathcal{J}_{12}(\tilde{w}, w_k, \tilde{\Phi}) & \triangleq \frac{1}{2} \iint_{\Omega} \tilde{w} \cdot L(w_k, \tilde{\Phi}) dx dy, \\ \mathcal{J}_{23}^l(\tilde{w}, w_{k-}) & \triangleq \int_0^a \tilde{w}(x, y_l) w_{k-}(x, y_l) dx. \end{aligned} \quad (19)$$

3. Сплайн аппроксимация

1. Для построения конечномерной аппроксимации задачи (9) функцию прогиба $w(x, y)$ и функцию $\tilde{\Phi}(x, y)$ будем приближать интерполяционными кубическими сплайнами двух переменных [2].

В области $\Omega = [0, a] \times [0, b]$ введем сетку с узлами в точках

$$0 = x_0 < x_1 < \dots < x_{n+1} = a, \quad 0 = y_0 < y_1 < \dots < y_{m+1} = b$$

и пусть

$$w_{ij} = w(x_i, y_j), \tilde{\Phi}_{ij} = \tilde{\Phi}(x_i, y_j), i \in 0 : n+1, j \in 0 : m+1.$$

Интерполяционным кубическим сплайном двух переменных называется функция $S(x, y) = S(w; x, y)$, которая на каждом из прямоугольников $\Omega_{ij} = [x_i, x_{i+1}] \times [y_j, y_{j+1}]$ имеет вид

$$S(x, y) = \sum_{\alpha, \beta=0}^3 a_{\alpha, \beta} (x - x_i)^\alpha (y - y_j)^\beta \quad (20)$$

и удовлетворяет условиям интерполяции

$$S^{(r,s)}(x_i, y_j) = w_{ij}^{(r,s)}, \quad r, s = 0, 1, \quad i \in 0 : n+1, \quad j \in 0 : m+1,$$

$$w_{ij}^{(k,l)} \triangleq \frac{\partial^{k+l} w(x_i, y_j)}{\partial x^k \partial y^l}, \quad k, l \in 0 : 1.$$

Подставляя в функционалы (15), (16) вместо функций \tilde{w} , w_k и $\tilde{\Phi}$ соответствующие интерполяционные сплайны S_1 , S_{1k} , S_2 и интегрируя (см. [3]), получим функции

$$\begin{aligned} \mathcal{J}_1(\tilde{\Phi}_{ij}) &= \mathcal{J}_{11}(S_2) + \frac{E}{2} \mathcal{J}_{12}(S_2, S_{1k}, S_{1k}) = \\ &= \frac{1}{2} \sum_{ij, ps} a_{ij, ps} \tilde{\Phi}_{ij} \tilde{\Phi}_{ps} - \sum_{ij} c_{ij} \tilde{\Phi}_{ij}, \end{aligned} \quad (21)$$

$$\begin{aligned} \mathcal{J}_2(\tilde{w}_{ij}) &= \mathcal{J}_{11}(S_1) - \frac{h}{D} \mathcal{J}_{12}(S_1, S_{1k}, S_2) + \frac{h}{D} \sum_{l=1}^r \beta_l \mathcal{J}_{23}^l(S_1, S_{1k-}) = \\ &= \frac{1}{2} \sum_{ij, ps} a_{ij, ps} \tilde{w}_{ij} \tilde{w}_{ps} - \sum_{ij} d_{ij} \tilde{w}_{ij}. \end{aligned} \quad (22)$$

Заметим, что сплайн-аппроксимация срезки функции w_{k-} выполняется в следующем порядке: сначала для w_k строится сплайн S_{1k} , затем вычисляется его срезка S_{1k-} .

Учитывая, что значения функций \tilde{w} и $\tilde{\Phi}$ на контуре пластины равны нулю, обозначим

$$\tilde{w} \triangleq (\tilde{w}_{11}, \dots, \tilde{w}_{1m}, \dots, \tilde{w}_{n1}, \dots, \tilde{w}_{nm})^*,$$

$$\tilde{\Phi} \triangleq (\tilde{\Phi}_{11}, \dots, \tilde{\Phi}_{1m}, \dots, \tilde{\Phi}_{n1}, \dots, \tilde{\Phi}_{nm})^*, \quad (23)$$

$$\begin{aligned}\mathbf{c} &\stackrel{\Delta}{=} (c_{11}, \dots, c_{1m}, \dots, c_{n1}, \dots, c_{nm})^*, \\ \mathbf{d} &\stackrel{\Delta}{=} (d_{11}, \dots, d_{1m}, \dots, d_{n1}, \dots, d_{nm})^*,\end{aligned}\quad (24)$$

здесь $(\cdot)^*$ – означает транспонирование. Тогда функции $\mathcal{J}_1(\tilde{\Phi}_{ij})$, $\mathcal{J}_2(\tilde{w}_{ij})$ можно переписать так ((\cdot, \cdot) – скалярное произведение)

$$\mathcal{J}_1(\tilde{\Phi}) = \frac{1}{2}(\mathbf{A}\tilde{\Phi}, \tilde{\Phi}) - (\mathbf{c}, \tilde{\Phi}), \quad \mathcal{J}_2(\tilde{w}) = \frac{1}{2}(\mathbf{A}\tilde{w}, \tilde{w}) - (\mathbf{d}, \tilde{w}). \quad (25)$$

Здесь матрица \mathbf{A} порядка $n \times m$ с элементами $a_{ij,ps}$ положительно определена, поскольку является конечномерным аналогом бигармонического оператора Δ^2 .

Таким образом, в конечномерном случае вариационные проблемы (17) и (18) (а значит и уравнения (13), (14)) сводятся к последовательному решению двух задач выпуклого квадратичного программирования

$$\mathcal{J}_1(\tilde{\Phi}) = \frac{1}{2}(\mathbf{A}\tilde{\Phi}, \tilde{\Phi}) - (\mathbf{c}, \tilde{\Phi}) \rightarrow \min_{\tilde{\Phi}}, \quad (26)$$

$$\mathcal{J}_2(\tilde{w}) = \frac{1}{2}(\mathbf{A}\tilde{w}, \tilde{w}) - (\mathbf{d}, \tilde{w}) \rightarrow \min_{\tilde{w}}. \quad (27)$$

Решение этих задач единственны и имеет вид

$$\tilde{\Phi} = \mathbf{A}^{-1}\mathbf{c}, \quad \tilde{w} = \mathbf{A}^{-1}\mathbf{d}. \quad (28)$$

2. Аналитические представления для коэффициентов матрицы \mathbf{A} и векторов \mathbf{c} и \mathbf{d} выписать практически невозможно, поскольку даже с вычислительной точки зрения эта операция весьма трудоемка. Расчетная схема определения коэффициентов матрицы \mathbf{A} приведена в монографии [3]. Опишем далее алгоритм вычисления векторов \mathbf{c} и \mathbf{d} .

На каждом прямоугольнике сетки Ω_{ij} $i \in 0 : n, j \in 0 : m$ введем в рассмотрение матрицы

$$M^{ij}(w) \stackrel{\Delta}{=} \begin{pmatrix} w_{i,j} & w_{i+1,j} & w_{i,j}^{(1,0)} & w_{i+1,j}^{(1,0)} \\ w_{i,j+1} & w_{i+1,j+1} & w_{i,j+1}^{(1,0)} & w_{i+1,j+1}^{(1,0)} \\ w_{i,j}^{(0,1)} & w_{i+1,j}^{(0,1)} & w_{i,j}^{(1,1)} & w_{i+1,j}^{(1,1)} \\ w_{i,j+1}^{(0,1)} & w_{i+1,j+1}^{(0,1)} & w_{i,j+1}^{(1,1)} & w_{i+1,j+1}^{(1,1)} \end{pmatrix}. \quad (29)$$

И пусть

$$F^{ij} \stackrel{\Delta}{=} M^{ij}(w_k), \quad G^{ij} \stackrel{\Delta}{=} M^{ij}(\tilde{\Phi}), \quad V^{ij} \stackrel{\Delta}{=} M^{ij}(\tilde{w}). \quad (30)$$

В случае равномерной сетки с шагом h_x по оси x и шагом h_y по оси y функция $\mathcal{J}_{12}(S_2, S_{1k}, S_{1k})$ (21) представима в виде

$$\begin{aligned} \mathcal{J}_{12}(S_2, S_{1k}, S_{1k}) &= \\ &= \frac{1}{h_x h_y} \sum_{i=0}^n \sum_{j=0}^m \sum_{p,q=1}^4 G_{pq}^{ij} \sum_{s,t,k,l=1}^4 F_{st}^{ij} F_{kl}^{ij} [d_{skp} \tilde{d}_{ltq} - c_{skp} \tilde{c}_{ltq}], \end{aligned} \quad (31)$$

где

$$\begin{aligned} d_{skp} &= \int_0^1 \varphi_s(z) \varphi_k''(z) \varphi_p(z) dz, \\ c_{skp} &= \int_0^1 \varphi_s'(z) \varphi_k'(z) \varphi_p(z) dz, \quad s, k, p \in 1 : 4; \end{aligned} \quad (32)$$

$$\begin{aligned} \varphi_1(z) &= (1-z^2)(1-2z), \quad \varphi_2(z) = z^2(3-2z), \\ \varphi_3(z) &= z(1-z^2)h_y, \quad \varphi_4(z) = -z^2(1-z)h_y. \end{aligned} \quad (33)$$

Коэффициенты \tilde{d}_{ltq} , \tilde{c}_{ltq} , $l, t, q \in 1 : 4$ вычисляются аналогично:

$$\begin{aligned} \tilde{d}_{ltq} &= \int_0^1 \psi_l(z) \psi_t''(z) \psi_q(z) dz, \\ \tilde{c}_{ltq} &= \int_0^1 \psi_l'(z) \psi_t'(z) \psi_q(z) dz, \quad l, t, q \in 1 : 4; \end{aligned} \quad (34)$$

$$\begin{aligned} \psi_1(z) &= \varphi_1(z), \quad \psi_2(z) = \varphi_2(z), \\ \psi_3(z) &= z(1-z^2)h_x, \quad \psi_4(z) = -z^2(1-z)h_x. \end{aligned} \quad (35)$$

Поскольку коэффициентами матриц F^{ij} являются значения известной функции w_k и ее производных в точках сетки, формулу (31), с учетом (30), можно переписать так

$$\begin{aligned} \mathcal{J}_{12}(S_2, S_{1k}, S_{1k}) &= \\ &= \sum_{i=0}^{n+1} \sum_{j=0}^{m+1} \left[\tilde{\Phi}_{ij} f_{ij}^0 + \tilde{\Phi}_{ij}^{(1,0)} f_{ij}^1 + \tilde{\Phi}_{ij}^{(0,1)} f_{ij}^2 + \tilde{\Phi}_{ij}^{(1,1)} f_{ij}^3 \right], \end{aligned} \quad (36)$$

где f_{ij}^k , $k \in 0 : 3$ – величины постоянные.

Введем в рассмотрение матрицы

$$\mathbf{W} = \{w_{ij}\}, \quad \mathbf{W}_x = \{w_{ij}^{(1,0)}\}, \quad \mathbf{W}_y = \{w_{ij}^{(0,1)}\}, \quad \mathbf{W}_{xy} = \{w_{ij}^{(1,1)}\},$$

$$i \in 1 : n, j \in 1 : m.$$

Условия непрерывности вторых производных интерполяционного сплайна во внутренних точках сетки Ω (см. например [2]), можно записать в виде

$$P\mathbf{W}_x = \frac{3}{h_x} R\mathbf{W}, \quad \tilde{P}\mathbf{W}_y^* = \frac{3}{h_y} \tilde{R}\mathbf{W}^*, \quad (37)$$

где квадратные матрицы P , R (порядка n) и \tilde{P} , \tilde{R} (порядка m) в случае граничных условий шарнирного опирания являются трехдиагональными и имеют следующую структуру:

$$P = \begin{pmatrix} \frac{7}{2} & 1 & 0 & \cdot & \cdot & \cdot \\ 1 & 4 & 1 & 0 & \cdot & \cdot \\ \cdot & \cdot & \cdot & \cdot & \cdot & \cdot \\ \cdot & \cdot & \cdot & \cdot & \cdot & \cdot \\ \cdot & \cdot & 0 & 1 & 4 & 1 \\ \cdot & \cdot & 0 & 1 & \frac{7}{2} & \end{pmatrix}, \quad R = \begin{pmatrix} -\frac{1}{2} & 1 & 0 & \cdot & \cdot & \cdot \\ -1 & 0 & 1 & 0 & \cdot & \cdot \\ \cdot & \cdot & \cdot & \cdot & \cdot & \cdot \\ \cdot & \cdot & \cdot & \cdot & \cdot & \cdot \\ \cdot & \cdot & 0 & -1 & 0 & 1 \\ \cdot & \cdot & 0 & -1 & \frac{1}{2} & \end{pmatrix}. \quad (38)$$

Из формул (37) в силу невырожденности матриц P и \tilde{P} получаем

$$\begin{aligned} \mathbf{W}_x &= \frac{3}{h_x} P^{-1} R \mathbf{W}, \quad \mathbf{W}_y = \frac{3}{h_y} \mathbf{W} \tilde{R}^* \tilde{P}^{-1}, \\ \mathbf{W}_{xy} &= \frac{9}{h_x h_y} P^{-1} R \mathbf{W} \tilde{R}^* \tilde{P}^{-1}. \end{aligned} \quad (39)$$

Выпишем аналогичные (39) формулы для матриц \mathbf{W} , \mathbf{W}_x , \mathbf{W}_y , \mathbf{W}_{xy} , записанных в виде вектор-столбцов \mathbf{w} , \mathbf{w}_x , \mathbf{w}_y , \mathbf{w}_{xy}

$$\mathbf{w}_x = Q_x \mathbf{w}, \quad \mathbf{w}_y = Q_y \mathbf{w}, \quad \mathbf{w}_{xy} = Q_x Q_y \mathbf{w}, \quad (40)$$

здесь Q_x , Q_y – соответствующие аналоги матриц $3/h_x P^{-1} R$ и $3/h_y \tilde{R}^* \tilde{P}^{-1}$.

Вернемся к формуле (36), пусть

$$\mathbf{f}^k \triangleq (f_{11}^k, \dots, f_{1m}^k, \dots, f_{n1}^k, \dots, f_{nm}^k)^*, \quad k \in 0 : 3, \quad (41)$$

используя матрицы дифференцирования (40), обозначения (41) и (23), формулу (36) можно переписать в виде

$$\begin{aligned} \mathcal{J}_{12}(S_2, S_{1k}, S_{1k}) &= -\frac{2}{E}(\mathbf{c}, \tilde{\Phi}) = \\ &= (\tilde{\Phi}, \mathbf{f}^0) + (Q_x \tilde{\Phi}, \mathbf{f}^1) + (Q_y \tilde{\Phi}, \mathbf{f}^2) + (Q_x Q_y \tilde{\Phi}, \mathbf{f}^3), \end{aligned} \quad (42)$$

откуда окончательно имеем

$$\mathbf{c} = -\frac{E}{2}(\mathbf{f}^0 + Q_x^* \mathbf{f}^1 + Q_y^* \mathbf{f}^2 + Q_y^* Q_x^* \mathbf{f}^3). \quad (43)$$

3. Аналогичным образом вычисляются коэффициенты линейной формы $(\mathbf{d}, \tilde{\mathbf{w}})$ (25). Для функции $\mathcal{J}_{12}(S_1, S_{1k}, S_2)$ (22), используя введенные ранее матрицы F^{ij} , G^{ij} , V^{ij} (30), можно получить следующее выражение:

$$\begin{aligned} & \mathcal{J}_{12}(S_1, S_{1k}, S_2) = \\ & = \sum_{i=0}^n \sum_{j=0}^m \sum_{p,q=1}^4 V_{pq}^{ij} \left[\frac{1}{h_x h_y} \sum_{s,t,k,l=1}^4 (F_{st}^{ij} G_{kl}^{ij} + G_{st}^{ij} F_{kl}^{ij}) d_{skp} \tilde{d}_{ltq} - \right. \\ & \left. - \frac{2}{h_x h_y} \sum_{s,t,k,l=1}^4 F_{st}^{ij} G_{kl}^{ij} c_{skp} \tilde{c}_{ltq} + \sum_{s,t=1}^4 F_{st}^{ij} \left(\frac{h_y}{h_x} \sigma_x b_{sp} \tilde{b}_{tq} - 2\tau q_{sp} \tilde{q}_{tq} \right) \right], \end{aligned} \quad (44)$$

где

$$b_{sp} = \int_0^1 \varphi_s(z) \varphi_p(z) dz, \quad q_{sp} = \int_0^1 \varphi'_s(z) \varphi_p(z) dz, \quad s, p \in 1 : 4; \quad (45)$$

$$\tilde{b}_{tq} = \int_0^1 \psi''_t(z) \psi_q(z) dz, \quad \tilde{q}_{tq} = \int_0^1 \psi'_t(z) \psi_q(z) dz, \quad t, q \in 1 : 4. \quad (46)$$

А коэффициенты d_{skp} , c_{skp} , \tilde{d}_{ltq} , \tilde{c}_{ltq} , $s, k, p, l, t, q \in 1 : 4$ вычисляются по формулам (32), (34).

Рассмотрим теперь интегралы (19)

$$\mathcal{J}_{23}^l(S_1, S_{1k-}) = \int_0^a S_1(x, y_l) S_{1k-}(x, y_l) dx, \quad l \in 1 : r.$$

Здесь y_l – это координата l -го ребра, параллельного оси x . Будем считать, что подкрепляющие пластину ребра проходят по линиям сетки и $\mathcal{M} \subset \{1..m\}$ – множество точек крепления ребер.

Пусть вектор U^{ij} – первая строка матрицы $M^{ij}(w_{k-})$ (см. (29)), тогда

$$\sum_{j \in \mathcal{M}} \beta_j \mathcal{J}_{23}^j(S_1, S_{1k-}) = \sum_{i=1}^n \sum_{j \in \mathcal{M}} \sum_{q=1}^4 V_{1q}^{ij} \left[\beta_j h_x \sum_{p=1}^4 U_p^{ij} b_{pq} \right], \quad (47)$$

где b_{pq} , $p, q \in 1 : 4$ вычисляются по формуле (45).

Далее, суммируя в выражениях (44), (47) коэффициенты при $\tilde{w}_{ij}, \tilde{w}_{ij}^{(1,0)}, \tilde{w}_{ij}^{(0,1)}, \tilde{w}_{ij}^{(1,1)}$, получаем

$$\begin{aligned} \mathcal{J}_{12}(S_1, S_{1k}, S_2) - \sum_{j \in \mathcal{M}} \beta_j \mathcal{J}_{23}^j(S_1, S_{1k}) = \\ = \sum_{i=0}^{n+1} \sum_{j=0}^{m+1} \left[\tilde{w}_{ij} g_{ij}^0 + \tilde{w}_{ij}^{(1,0)} g_{ij}^1 + \tilde{w}_{ij}^{(0,1)} g_{ij}^2 + \tilde{w}_{ij}^{(1,1)} g_{ij}^3 \right], \end{aligned} \quad (48)$$

где $g_{ij}^k, k \in 0 : 3$ – величины постоянные.

Полагая теперь

$$\mathbf{g}^k \triangleq (g_{11}^k, \dots, g_{1m}^k, \dots, g_{n1}^k, \dots, g_{nm}^k)^*, \quad k \in 0 : 3,$$

используя матрицы дифференцирования (40) и обозначения (23), преобразуем формулу (48) к виду

$$\begin{aligned} \mathcal{J}_{12}(S_1, S_{1k}, S_2) - \sum_{j \in \mathcal{M}} \beta_j \mathcal{J}_{23}^j(S_1, S_{1k-}) = \frac{D}{h} (\mathbf{d}, \tilde{\mathbf{w}}) = \\ = (\tilde{\mathbf{w}}, \mathbf{g}^0) + (Q_x \tilde{\mathbf{w}}, \mathbf{g}^1) + (Q_y \tilde{\mathbf{w}}, \mathbf{g}^2) + (Q_x Q_y \tilde{\mathbf{w}}, \mathbf{g}^3), \end{aligned}$$

откуда окончательно имеем

$$\mathbf{d} = \frac{h}{D} (\mathbf{g}^0 + Q_x^* \mathbf{g}^1 + Q_y^* \mathbf{g}^2 + Q_y^* Q_x^* \mathbf{g}^3). \quad (49)$$

4. Численные эксперименты

Рассмотрим пластинку с параметрами

$$a = 20 \text{ см}, \quad b = 10 \text{ см}, \quad h = 0,2 \text{ см},$$

$$E = 0,72 \cdot 10^6 \frac{\text{кг}}{\text{см}^2}, \quad \nu = 0,3, \quad D = \frac{Eh^3}{12(1-\nu^2)} = 542,74 \text{ кг} \cdot \text{см}, \quad (50)$$

подкрепленную упругими ребрам одинаковой жесткости $\beta_j = \beta = const$. Расчеты проводились при достаточно больших значениях параметра β для случая, когда число ребер, параллельных длинной стороне пластины, совпадает с числом внутренних узлов сетки по оси y ($\mathcal{M} = \{1..m\}$), т.е. моделировалась задача о закритическом поведении пластины на жестком основании.

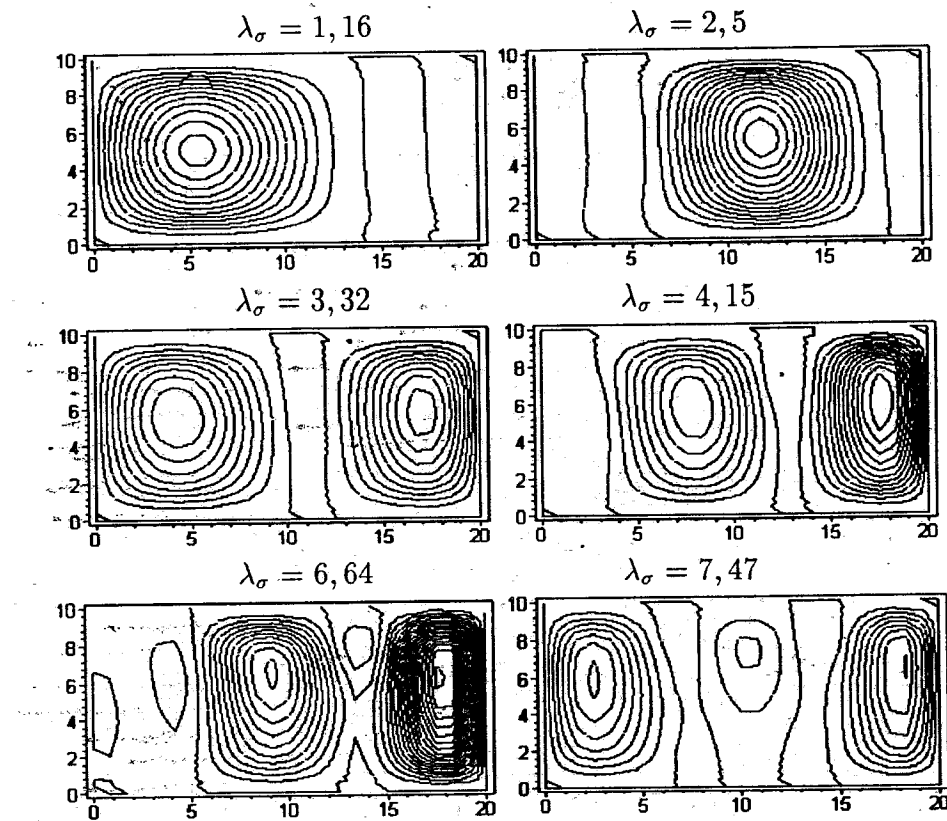
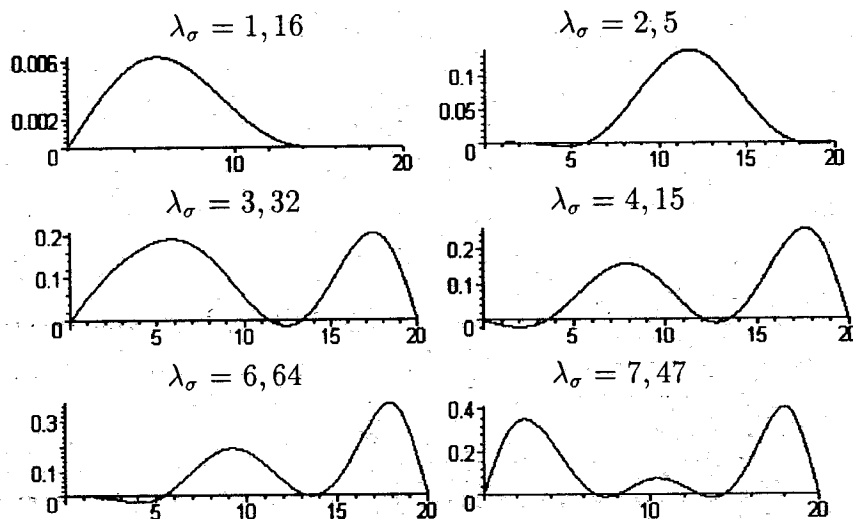


Рис. 2. Волнообразование при сжатии

Рис. 3. Формы сечения $y = b/2$ при сжатии

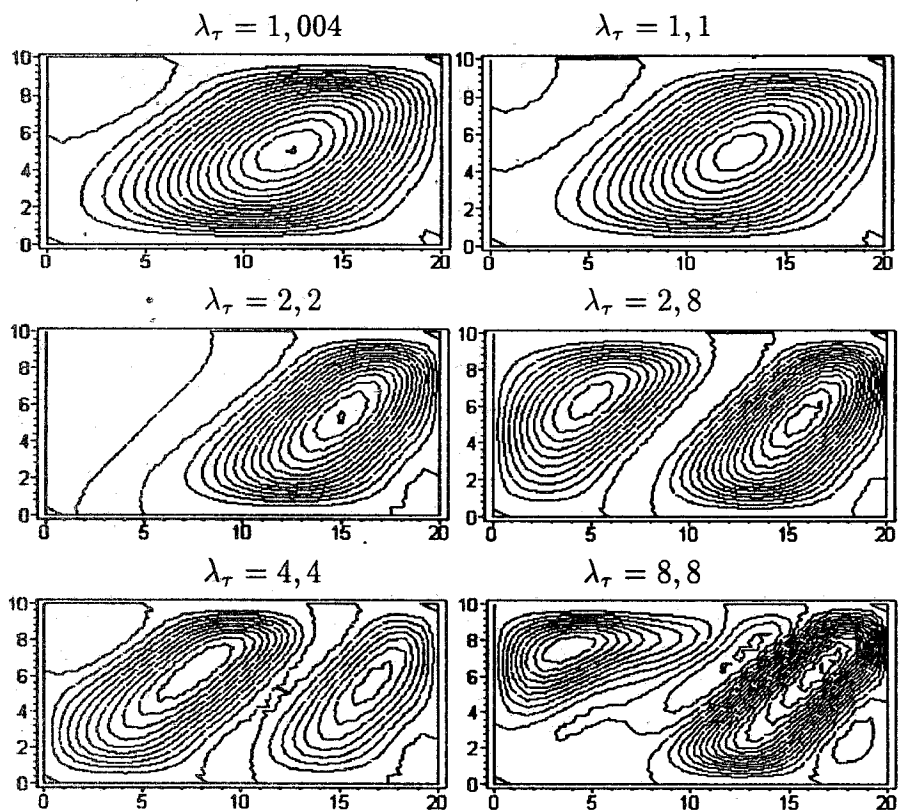
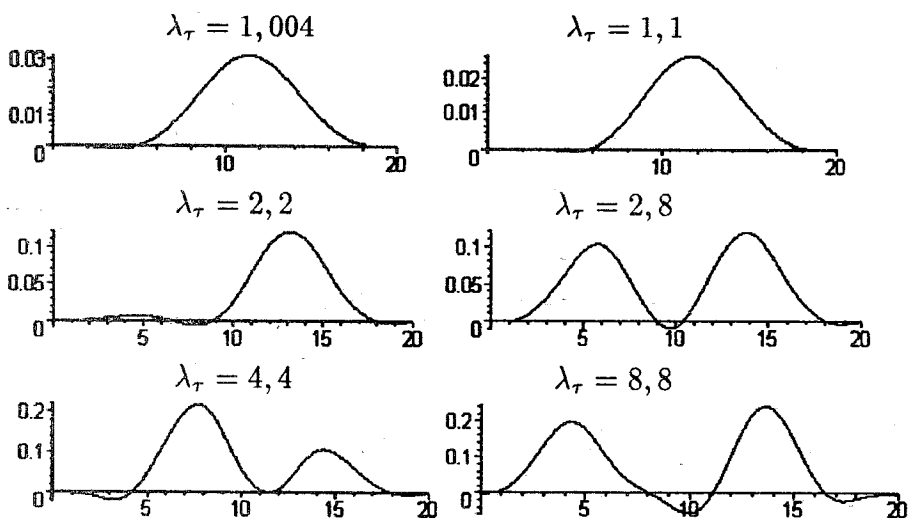


Рис. 4. Волнообразование при сдвиге

Рис. 5. Формы сечения $y = -b/a \cdot x + b$ при сдвиге

Пусть пластинка сжата вдоль оси x ($\tau = 0$), тогда для неподкрепленной пластинки критическое напряжение может быть вычислено по формуле [1]:

$$\sigma_{kp}^0 = K \frac{\pi^2 D}{b^2 h}, \quad (51)$$

где коэффициент K зависит от соотношения сторон (a/b). Для пластины с параметрами (50)

$$K = 4, \quad \sigma_{kp}^0 = 1071,3 \frac{\text{кг}}{\text{см}^2},$$

а при наличии жесткого основания

$$\sigma_{kp} = 1204,6 \frac{\text{кг}}{\text{см}^2}. \quad (52)$$

При чистом сдвиге ($\sigma_x = 0$) для неподкрепленной пластинки с параметрами (50) критическое напряжение также вычисляется по формуле (51), при этом (см. [1])

$$K = 6.47, \quad \tau_{kp}^0 = 1732,87 \frac{\text{кг}}{\text{см}^2},$$

а при наличии жесткого основания

$$\tau_{kp} = 1803,26 \frac{\text{кг}}{\text{см}^2}. \quad (53)$$

Критические значения (52), (53) для пластины на жестком основании получены методами, рассмотренными в монографии [3].

Пусть теперь

$$\lambda_\sigma = \frac{\sigma_x}{\sigma_{kp}}, \quad \lambda_\tau = \frac{\tau}{\tau_{kp}},$$

– безразмерные параметры напряжений соответственно для пластины, сжатой вдоль оси x ($\tau = 0$) и при чистом сдвиге ($\sigma_x = 0$).

На рис. 2 показана одна из возможных ветвей процесса волнообразования при сжатии, на рис. 4 – при чистом сдвиге; на рис. 3 – соответствующие рис. 2 формы сечения $y = b/2$, на рис. 5 – соответствующие рис. 4 формы сечения $y = -b/a \cdot x + b$. В качестве начальных приближений используются формы потери устойчивости, соответствующие критическим напряжениям (52), (53). Расчет произведен при следующих значениях параметров сетки: $n = 20, m = 10$.

Литература

1. Вольмир А.С. Устойчивость деформируемых систем. М.: Наука, 1967. 984 с.
2. Завьялов Ю.С., Квасов Б.И., Мирошниченко В.Л. Методы сплайн-функций. М.: Москва, 1980. 352 с.
3. Тарасов В.Н., Холмогоров Д.В. Некоторые задачи и методы конструктивно-нелинейной механики упругих систем/ Под ред. проф. Е.И. Михайловского. Сыктывкар: Изд-во Сыктывкарск. ун-та. 2001. 189 с. ISBN 5-87237-274-4.

Summary

Kholmogorov D.V. Supercritical behaviour of a substantiated plate

The task about a supercritical behaviour of a rectangular plates loaded on edges normal and tangents by gains and substantiated with a system of elastic edges is considered. The circuit of a numerical solution of a task based on approximation of a sag of a plate and function of voltages natural cubic splines of two variables is offered. The outcomes of numerical experiments are reduced.

Сыктывкарский университет

Поступила 7.10.2002